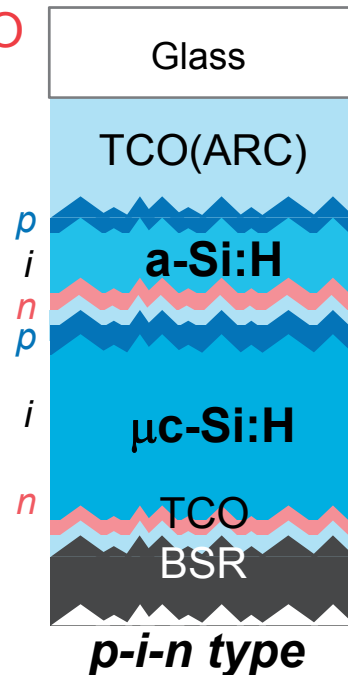


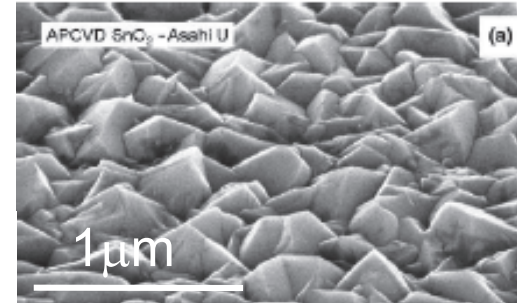
# ZnO系透明導電膜の高性能化

先端産業プロセス・高効率化チーム 鯉田 崇

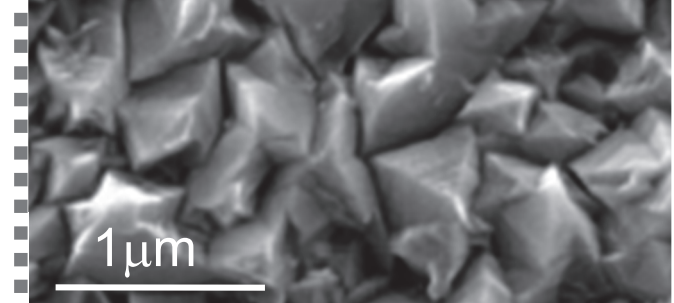
- ①テクスチャTCO
- ②p層
- ③i(a)層
- ④n層
- ⑤中間層
- ⑥p層
- ⑦i( $\mu$ c)層
- ⑧n層
- ⑨TCO/反射層



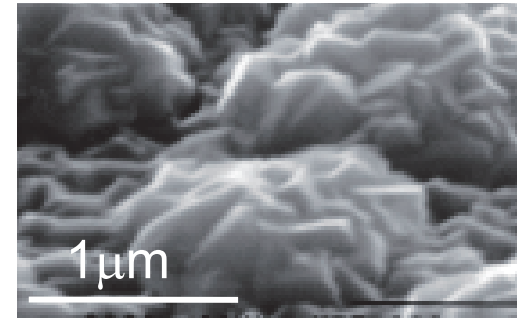
CVD-SnO<sub>2</sub> (Asahi-U)<sup>1)</sup>



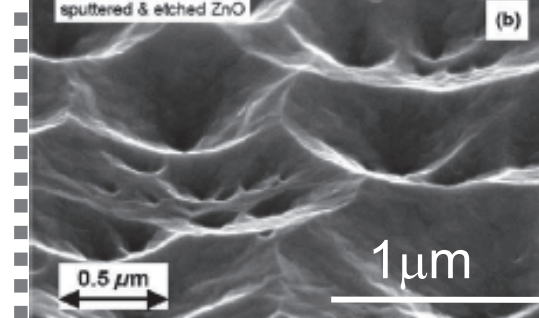
LPCVD-ZnO:B<sup>3)</sup>



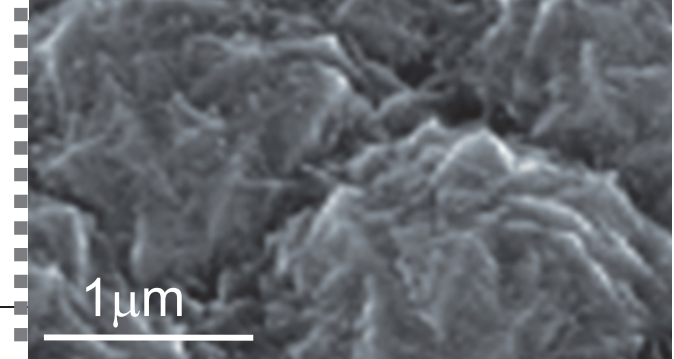
CVD-SnO<sub>2</sub> (W-texture)<sup>2)</sup>



ZnO:Al sputtering + wet etching<sup>4)</sup>



Texture glass+LPCVD-ZnO:B<sup>5)</sup>

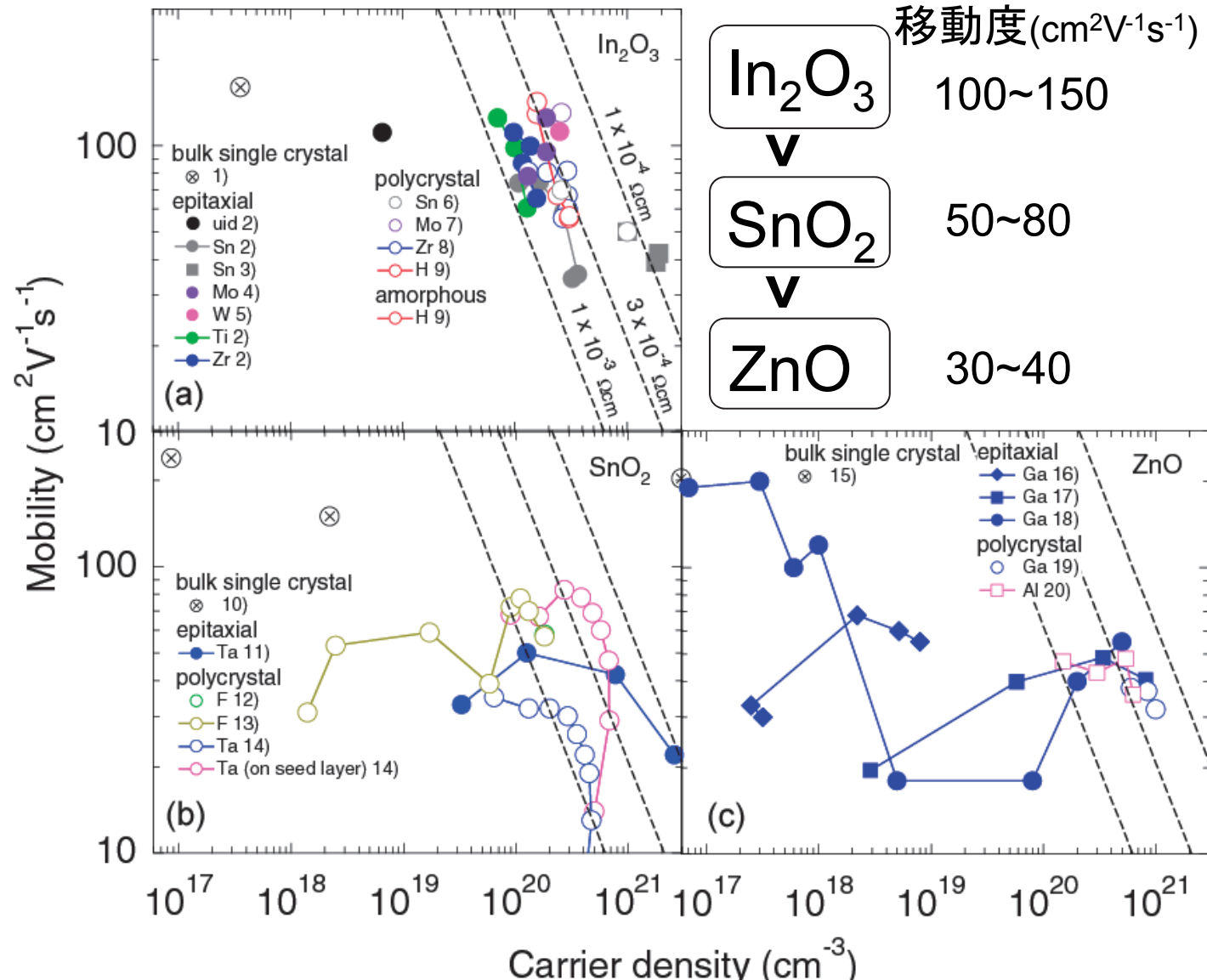


## ZnO

優れた光閉じ込め  
→高J<sub>sc</sub>&η  
低温プロセス可

- 1) K. Sato, *Rep. Res. Lab. AGC., Ltd.* **42** 129 (1992)
- 2) N. Taneda, *Technical Digest PVSEC-17* p309 (2007)
- 3) S. Faÿ, *SOLMAT* **86** 385 (2005)
- 4) M. Berginski, *JAP* **101** 074903 (2007)
- 5) A. Hongsingthong, *APEX* **3** 051102 (2010)

# 課題: 現状のZnO系TCOの電気特性



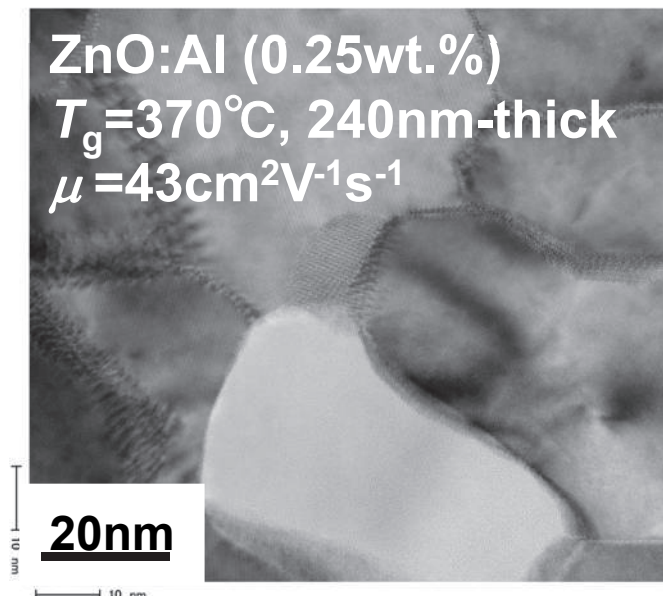
- 1) R. L. Weiher, *J. Appl. Phys.*, **33** 2834 (1962)
- 2) T. Koida *et al.*, *J. Appl. Phys.*, **101** 063713 (2007)
- 3) H. Ohta *et al.*, *Appl. Phys. Lett.*, **76** 2740 (2000)
- 4) C. Warmsingh *et al.*, *J. Appl. Phys.*, **95** 3831 (2004)
- 5) P. F. Newhouse *et al.*, *Appl. Phys. Lett.*, **87** 112108 (2005)
- 6) Y. Shigesato *et al.*, *Appl. Phys. Lett.*, **62** 1268 (1993)
- 7) Y. Meng *et al.*, *Thin Solid Films*, **394** 218 (2001)
- 8) T. Koida *et al.*, *J. Appl. Phys.*, **101** 063705 (2007)
- 9) T. Koida *et al.*, *Jpn. J. Appl. Phys.*, **28** L685 (2007)
- 10) C.G. Fonstad *et al.*, *J. Appl. Phys.*, **42** 2911 (1971)
- 11) H. Toyosaki *et al.*, *Appl. Phys. Lett.*, **93** 132109 (2008)
- 12) M. Kambe *et al.*, *Jpn. J. Appl. Phys.*, **45** L291 (2006)
- 13) M. Isshiki *et al.*, 4th International Symposium on Innovative Solar Cells (March. 7-8, 2012, Tokyo)
- 14) S. Nakao *et al.*, *Appl. Phys. Express*, **3** 031102 (2010)
- 15) D.C. Look *et al.*, *Solid State Commun.*, **105** 399 (1998)
- 16) H. Kato *et al.*, *J. Cryst. Growth*, **237-239** 538 (2002)
- 17) K. Nakahara *et al.*, *Jpn. J. Appl. Phys.*, **43** L180 (2004)
- 18) T. Makino *et al.*, *Appl. Phys. Lett.*, **87** 022101 (2005)
- 19) K. Iwata *et al.*, *Thin Solid Films*, **480-481** 199 (2005)
- 20) M. Berginski *et al.*, *Thin Solid Films*, **516** 5836 (2008)

# 高移動度化するには？(In<sub>2</sub>O<sub>3</sub>系TCOとの比較)



## ZnO:Alスパッタ膜の現状

**ZnO:Al (0.25wt.%)**  
 **$T_g = 370^\circ\text{C}$ , 240nm-thick**  
 **$\mu = 43\text{cm}^2\text{V}^{-1}\text{s}^{-1}$**



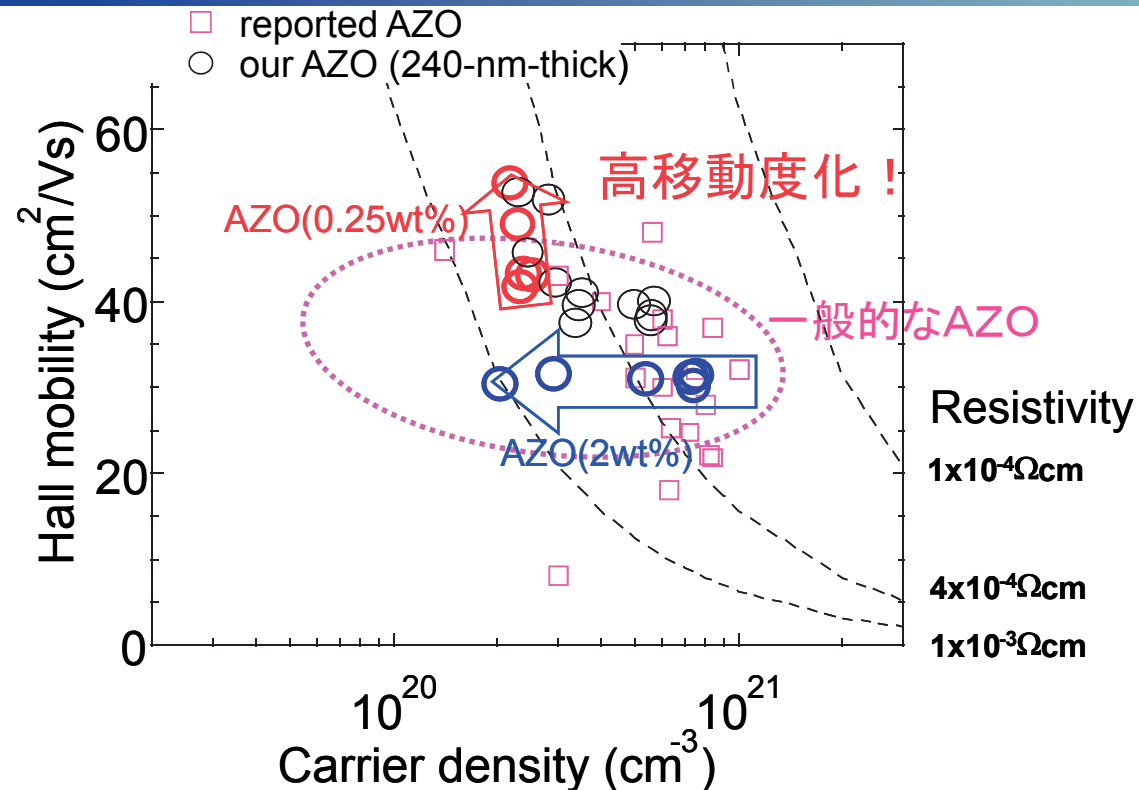
- ・大粒径化 & 高結晶性
- ・歪の抑制
- ・点欠陥の抑制/不活性化

## 結晶粒界 ・散乱抑制/不活性化

$\text{In}_2\text{O}_3:\text{H}$   
 $T_a = 200^\circ\text{C}$ , 72nm-thick  
 $\mu = 120\text{cm}^2\text{V}^{-1}\text{s}^{-1}$

**500nm**

# 粒界散乱の抑制: 低酸素分圧下での高温アニール



低酸素分圧( $\sim 1 \times 10^{-23} \text{ atm}$ )  
高温アニール( $600\text{~}650^\circ\text{C}$ )

低AI濃度ZnO:Al(0.25, 0.5wt.%)

高移動度化

←粒界散乱の抑制による

(化学吸着酸素の減少→電位障壁の減少)

←残留歪の効果は支配的でない

(高酸素分圧・高温アニールでは移動度増加しない)

高AI濃度ZnO:Al(1, 2wt.%)

キャリア濃度減少

←電荷補償欠陥の生成による

(酸素分圧増加と共に更にキャリア減少)

<開発課題> ZnO系TCO薄膜の高品質化技術

<達成状況> •既報レベルの性能のZnO:Alの作製

•酸素分圧を制御したポストアニール処理 ⇒ 粒界散乱の抑制

電気特性:酸素分圧&アニール温度 & AI濃度に大きく依存

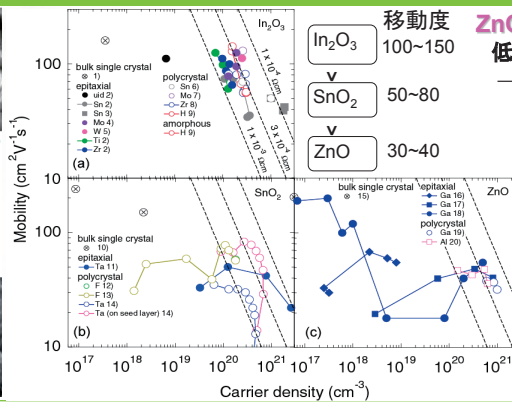
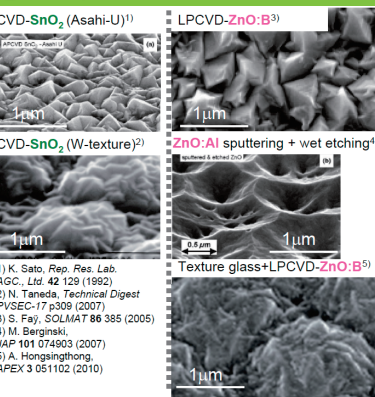
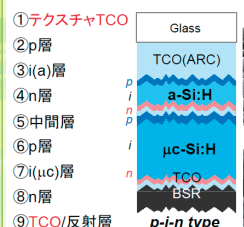
低AI濃度ZnO:Alにおいて移動度の向上( $50\text{~}60 \text{ cm}^2 \text{ V}^{-1} \text{ s}^{-1}$ )

<今後の方策> 大粒径化 & 粒界・欠陥の不活性化

# ZnO系透明導電膜の高性能化

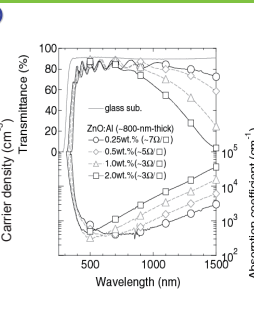
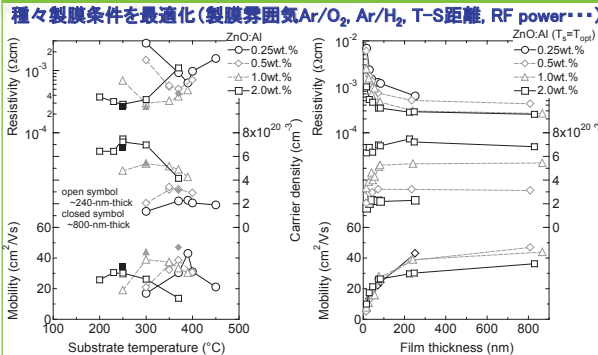
先端産業プロセス・高効率化チーム 鯉田 崇

## なぜZnO系透明導電膜の高性能化?

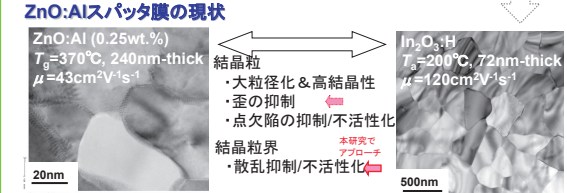
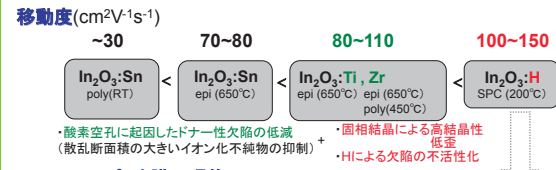


- R. L. Weiler, J. Appl. Phys., 33 2834 (1962)
- T. Koide et al., J. Appl. Phys., 101 063713 (2007)
- H. Ohta et al., Appl. Phys. Lett., 76 2740 (2000)
- C. Warmsingh et al., Jpn. J. Appl. Phys., 45 3831 (2004)
- P. F. Newhouse et al., Appl. Phys. Lett., 87 112108 (2005)
- Y. Shigesato et al., Appl. Phys. Lett., 62 1286 (1993)
- Y. Meng et al., Thin Solid Films, 394 218 (2001)
- T. Koide et al., J. Appl. Phys., 101 063705 (2007)
- T. Koide et al., Jpn. J. Appl. Phys., 42 L865 (2003)
- H. Tominaga et al., Appl. Phys. Lett., 83 132103 (2003)
- M. Kambe et al., Jpn. J. Appl. Phys., 45 L291 (2006)
- M. Isshiki et al., 4th International Symposium on Innovative Solar Cells (March, 7-8, 2012, Tokyo)
- S. Nakao et al., Appl. Phys. Express, 3 031102 (2010)
- D.C. Cook et al., Solid State Commun., 105 399 (1998)
- H. Kato et al., J. Cryst. Growth, 237-239 538 (2002)
- K. Nakahara et al., Jpn. J. Appl. Phys., 43 L180 (2004)
- T. Makino et al., Appl. Phys. Lett., 87 022101 (2005)
- K. Iwata et al., Thin Solid Films, 480-481 199 (2005)
- M. Berginski et al., Thin Solid Films, 516 5836 (2008)

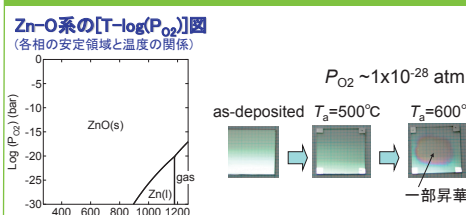
## スパッタZnO:Al(0.25~2wt.%)薄膜の最適化



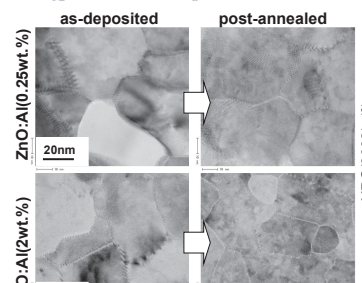
## 高移動度化するには? (In<sub>2</sub>O<sub>3</sub>系との比較)



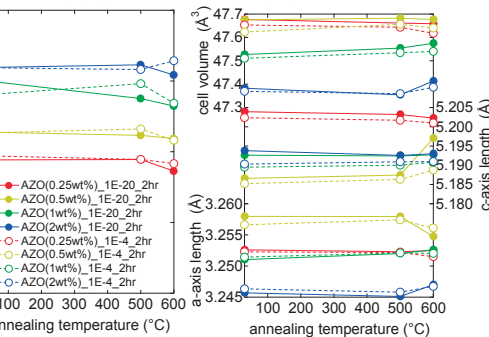
## 粒界散乱抑制の検討: 低酸素分圧(O<sub>2</sub>-poor)-高酸素分圧(O<sub>2</sub>-rich)でのアニール効果



P<sub>O2</sub> ~1x10<sup>-23</sup> atm, T<sub>a</sub>=650°C アニール前後



XRC半価幅



## まとめ

### <開発課題>

ZnO系TCO薄膜の高品質化技術

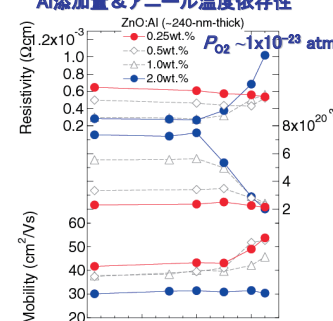
### <達成状況>

- 既報レベルの性能のZnO:Al透明導電膜を作製
- 酸素分圧を制御したポストアニール処理 ⇒ 粒界散乱の抑制  
電気特性:酸素分圧&アニール温度&Al濃度に大きく依存  
低Al濃度ZnO:Alにおいて移動度の向上(50~60cm<sup>2</sup>V<sup>-1</sup>s<sup>-1</sup>)

### <目標達成のための方策>

大粒径化 & 粒界・欠陥の不活性化

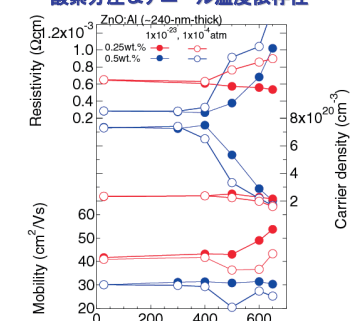
### AI添加量 & アニール温度依存性



低AI濃度ZnO:Al(0.25, 0.5wt%)

低酸素分圧アニールによる高移動度化  
→ 粒界散乱の抑制による  
(化学吸着酸素の減少・電位障壁の減少)

### 酸素分圧 & アニール温度依存性



高AI濃度ZnO:Al(1, 2wt%)

キャリア濃度減少  
→ 電荷補償欠陥の生成による  
(酸素分圧増加と共に更にキャリア減少)